# Estudos de QSAR 3D CoMFA e CoMSIA para Inibidores não Pepetideomiméticos da Enzima Beta-secretase Humana (BACE-1)

Marcelo Santos Castilho\*1 (PQ), Daniela S. Cruz 2 (PG)

1- Faculdade de Farmácia da Universidade Federal da Bahia - e-mail: <u>castilho @ufba.br</u>
2- Universidade Estadual de Feira de Santana

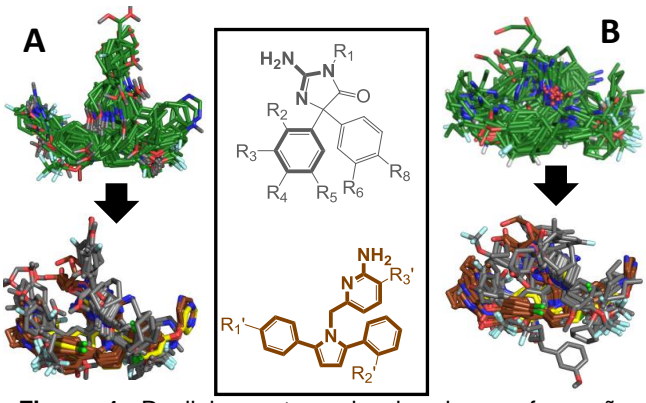
Palavras Chave: Alzheimer, beta-secretase, QSAR 3D, CoMFA, CoMSIA

#### Introdução

A doença de Alzheimer (DA), principal responsável pelos casos de demência, tem sua etiologia relacionada com a deposição extracelular do peptídeo beta- amiloide (A-β). A enzima BACE-1 é caracterizada como a principal protease envolvida na produção de A-β, sendo assim considerada um potencial alvo terapêutico anti-DA.2 Análogos peptideo-miméticos do estado de transição apresentam elevada afinidade perante esse alvo, porém perfil farmacocinético inadequado.<sup>3</sup> Visando contornar essa limitação inibidores não peptídicos foram planejados.4-7 Contudo, a potência dessas moléculas ainda precisa ser otimizada. A fim de contribuir para esse objetivo, foram desenvolvidos modelos de QSAR 3D através da Análise Comparativa de Campos moleculares (CoMFA) e Análise Comparativa dos Índices de Similaridade (CoMSIA).

### Resultados e Discussão

Estudos anteriores realizados no nosso laboratório com um conjunto de 102 inibidores de BACE (IC<sub>50</sub> de 01µM à 45µM)8 sugerem que modelos de QSAR oriundos de alinhamentos gerados por similaridade química e acoplamento molecular, apresentam boa consistência interna e poder preditivo (PRE-SURFLEX-SIM:  $q^2$ =0,76/ 4PCs/  $r_{pred}^2$ =0,64- PRE-GOLD 4.2.1:  $q^2$ =0,78/ 5PCs/ $r_{pred}^2$ =0,78). Visando melhorar a interpretabilidade dos mapas de contorno, realizou-se o realinhamento das moléculas segundo a máxima estrutura comum (figura 1). A otimização do espaçamento da grade (1Å) e o ajuste dos campos estéreos e eletrostáticos pelo desvio padrão (opção 'Stdev\_Coefficients') resultou num aumento significativo da capacidade preditiva do modelo SURFLEX-SIM (Tabela 1).

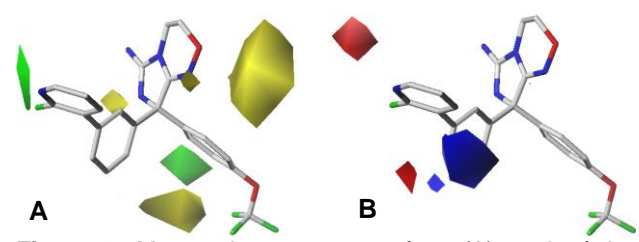


**Figura 1.** Realinhamento molecular das conformações obtidas com auxílio do programa GOLD 4.2.1 (Á) e SURFLEXSIM (B) utilizando a máxima estrutura comum (em negrito) de inibidores estruturalmente diferentes de BACE-1.

Em função da melhor sobreposição das moléculas, os mapas de contorno apresentam menor fragmentação e, portanto, uma idéia mais clara das exigências estéreas e eletrônicas necessárias para o desenvolvimento de inibidores mais potentes de BACE-1 (figura 2).

**Tabela 1.** Resultados estatísticos dos modelos de CoMFA após o realinhamento pela máxima estrutura comum.

Modelo	SDC	r²	$q^2$	PCs	r <sup>2</sup> pred
SURFLEX-SIM	0,6	0,91	0,73	4	0,86
GOLD 4.2.1	0,9	0,89	0,82	5	0,76



**Figura 2.** Mapas de contorno estéreo (A) e eletrônico de acordo com o melhor modelo de CoMFA para um inibidor de alta potência (pIC<sub>50</sub> = 7,5). Nível de contribuição dos contornos estéreos: ●86 /●14; e eletrostáticos:●84 /●16.

Numa tentativa de avaliar o efeito de outras interações (interações hidrofóbicas, ligações de hidrogênio, etc.) sobre a potência dos inibidores, construiu-se também modelos de QSAR utilizando CoMSIA. Entretanto, a combinação interativa dos campos hidrofóbicos (H), doador (D) e aceptor (A) de ligação de hidrogênio não produziu melhora significativa nos parâmetros estatísticos, em comparação a combinação dos campos S/E (estéreo/eletrostático) ( $r^2$ =0,89  $q^2$ =0,68/5PCs/  $r^2_{pred}$ =0,71).

#### Conclusões

A capacidade preditiva do modelo CoMFA sugere que a análise dos mapas de contorno pode fornecer informações úteis no planejamento de novos inibidores de BACE-1, por exemplo, os mapas de contorno (Figura 2) sugerem que substituintes volumosos próximos ao anel aminohidantoínico são desfavoráveis para a atividade, por outro lado não há restrição estérea para substituintes com carga positiva na posição *para* do anel *m*-cloro aminopridínico.

#### Agradecimentos

## CNPq, FAPESB, INBEB

1Forlenza, O.V. Rev. *Psiq. Clín.* 2005, 32, 137. 2 Seloke, D.J. *Phisiol. Rev* **2001**, 81,741. 3 Ghosh, A.K. *Curr Alzheimer Res.* **2008**, 5, 121. 4 Malamans MS. et al. *Bior Med Chem*, **2010**, 630 5 Malamas MS, et al. *J Med Chem.* **2010**, 53, 1146 6 Malamas MS, et al. *Med Chem.* **2009**, 52, 6314. 7 Pawel Nowak, et al. *Bior Med Chem Let* **2010**, 20, 632. 8 Cruz DS, MED-080. 34 Reunião da SBQ, **2011**.